

С. Е. БИРМАН

К ЗАДАЧАМ О ТОНКОСТЕННЫХ СТЕРЖНЯХ

(Представлено академиком Л. С. Лейбензоном 13 VII 1943)

Настоящая статья касается исследования напряженного и деформированного состояний призматических стержней, составленных из полос, толщина которых мала по сравнению с их шириной. В качестве примера рассмотрим задачу о кручении трубчатого стержня квадратного сечения, скручиваемого усилиями, действующими вдоль ребер стержня так, что каждая грань нагружена обратно-симметрично нормальными напряжениями  $f(x)$  (рис. 1).

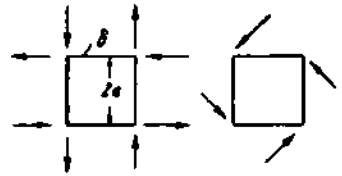


Рис. 1.

Вследствие тонкостенности стержня можно считать\*, что каждая грань в отдельности находится в условиях плоского напряженного состояния и что взаимодействие между ними осуществляется только касательными напряжениями. Разрезав стержень вдоль ребер на четыре отдельные полосы, загружаем каждую полосу обратно-симметрично нормальными напряжениями  $f(x)$  и касательными  $\gamma(x)$ . Деформации кромок граней  $\frac{\partial u}{\partial x}$ , в силу неразрывности, должны совпадать по обе стороны разреза\*\*. Применяя решение, данное в нашей предыдущей статье (1) (обозначения те же), это условие можно выразить следующим интегральным уравнением:

$$2k \int_{-\infty}^{+\infty} \frac{\text{sh}^2 a\xi d\xi}{\text{sh} 2a\xi - 2a\xi} \int_{-\infty}^{+\infty} \gamma(t) \sin \xi(t-x) dt + \\ + \int_{-\infty}^{+\infty} \frac{[(k-1) \text{sh} 2a\xi + 2a\xi] d\xi}{\text{sh} 2a\xi - 2a\xi} \int_{-\infty}^{+\infty} f(t) \cos \xi(t-x) dt = 0,$$

откуда

$$\gamma(x) = \frac{1}{2k\pi} \int_{-\infty}^{+\infty} \left[ (k-1) \text{cth} a\xi + \frac{a\xi}{\text{sh}^2 a\xi} \right] d\xi \int_{-\infty}^{+\infty} f(t) \sin \xi(t-x) dt.$$

\* Исключив из рассмотрения местные напряжения в углах профиля.

\*\* В данном случае вдоль ребер  $\frac{\partial u}{\partial x} = 0$ .

Затем в соответствии с нагружением, находим для каждой грани:

$$\Phi(z) = \frac{i}{2k\pi} \int_{-\infty}^{+\infty} \frac{d\xi}{\operatorname{sh} a\xi} \int_{-\infty}^{+\infty} f(t) \sin \xi(t-z) dt,$$

$$\Psi'(z) = \frac{i}{2ak\pi} \int_{-\infty}^{+\infty} \frac{[(k-1) \operatorname{sh} a\xi + a\xi \operatorname{ch} a\xi] d\xi}{\operatorname{sh}^2 a\xi} \int_{-\infty}^{+\infty} f(t) \sin \xi(t-z) dt.$$

Рассмотрим пример. Пусть  $f(x)$  представляет нагрузку, изображенную на рис. 2. Тогда:

$$\Phi(z) = \frac{ip}{k\pi} \left[ \ln \frac{\operatorname{ch} m(c-z)}{\operatorname{ch} m(b-z)} + \ln \frac{\operatorname{ch} m(c+z)}{\operatorname{ch} m(b+z)} \right],$$

$$\begin{aligned} \Psi'(z) = & \frac{ip(k-1)}{ak\pi} \left[ \ln \frac{\operatorname{ch} m(c-z)}{\operatorname{ch} m(b-z)} + \ln \frac{\operatorname{ch} m(c+z)}{\operatorname{ch} m(b+z)} \right] + \\ & + \frac{imp}{ak\pi} [(c-z) \operatorname{th} m(c-z) - (b-z) \operatorname{th} m(b-z) + (c+z) \operatorname{th} m(c+z) - \\ & - (b+z) \operatorname{th} m(b+z)]; \end{aligned}$$

$$\begin{aligned} Y_y = & \frac{p}{\pi} [\operatorname{arc} \operatorname{tg} (\operatorname{th} m(c-x) \operatorname{tg} my) - \operatorname{arc} \operatorname{tg} (\operatorname{th} m(b-x) \operatorname{tg} my) - \\ & - \operatorname{arc} \operatorname{tg} (\operatorname{th} m(c+x) \operatorname{tg} my) + \operatorname{arc} \operatorname{tg} (\operatorname{th} m(b+x) \operatorname{tg} my)] + \\ & + \frac{p \sin 2my}{2ak} \left[ \frac{c-x}{\operatorname{ch} 2m(c-x) + \cos 2my} - \frac{b-x}{\operatorname{ch} 2m(b-x) + \cos 2my} - \right. \\ & \left. - \frac{c+x}{\operatorname{ch} 2m(c+x) + \cos 2my} + \frac{b+x}{\operatorname{ch} 2m(b+x) + \cos 2my} \right], \end{aligned}$$

$$\begin{aligned} X_x = & \frac{p(2-k)}{k\pi} [\operatorname{arc} \operatorname{tg} (\operatorname{th} m(c-x) \operatorname{tg} my) - \operatorname{arc} \operatorname{tg} (\operatorname{th} m(b-x) \operatorname{tg} my) - \\ & - \operatorname{arc} \operatorname{tg} (\operatorname{th} m(c+x) \operatorname{tg} my) + \operatorname{arc} \operatorname{tg} (\operatorname{th} m(b+x) \operatorname{tg} my) - \\ & - \frac{p \sin 2my}{2ak} \left[ \frac{c-x}{\operatorname{ch} 2m(c-x) + \cos 2my} - \frac{b-x}{\operatorname{ch} 2m(b-x) + \cos 2my} - \right. \\ & \left. - \frac{c+x}{\operatorname{ch} 2m(c+x) + \cos 2my} + \frac{b+x}{\operatorname{ch} 2m(b+x) + \cos 2my} \right], \end{aligned}$$

$$\begin{aligned} X_y = & \frac{p(k-1)}{2k\pi} \left[ \ln \frac{\operatorname{ch} 2m(c-x) + \cos 2my}{\operatorname{ch} 2m(b-x) + \cos 2my} + \ln \frac{\operatorname{ch} 2m(c+x) + \cos 2my}{\operatorname{ch} 2m(b+x) + \cos 2my} \right] + \\ & + \frac{p}{2ak} \left[ \frac{(c-x) \operatorname{sh} 2m(c-x)}{\operatorname{ch} 2m(c-x) + \cos 2my} - \frac{(b-x) \operatorname{sh} 2m(b-x)}{\operatorname{ch} 2m(b-x) + \cos 2my} + \right. \\ & \left. + \frac{(c+x) \operatorname{sh} 2m(c+x)}{\operatorname{ch} 2m(c+x) + \cos 2my} - \frac{(b+x) \operatorname{sh} 2m(b+x)}{\operatorname{ch} 2m(b+x) + \cos 2my} \right] \quad \left( m = \frac{\pi}{2a} \right). \end{aligned}$$

Так же просто определяются и перемещения. Например, в частном случае, когда кручение осуществляется сосредоточенными силами ( $c \rightarrow b$ ), на осях граней ( $y = 0$ ) имеем:

$$2\mu v = -\frac{P}{k\pi} \left[ (2k-1) \ln \frac{\operatorname{ch} m(b-x)}{\operatorname{ch} m(b+x)} + \right. \\ \left. + m(b-x) \operatorname{th} m(b-x) - m(b+x) \operatorname{th} m(b+x) \right].$$

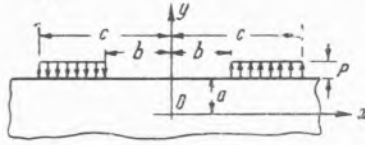


Рис. 2

Отсюда, при  $x \rightarrow \infty$  получим  $v_{(\infty)} = \frac{Pb}{\mu a}$ .

Если же удалить крутящие моменты в бесконечность ( $b \rightarrow \infty$ ), то найдем:  $Y_y = X_x = 0$ ,  $X_y = \frac{P}{a}$ ,  $v = \frac{Px}{\mu a}$ .

Подобные задачи решаются таким же путем и в алгебраических полиномах.

Опуская выкладки, приводим решение для стержня двухтаврового сечения, закрепленного одним концом и нагруженного поверху вдоль кромки стенки нормальными напряжениями  $-px$ \*. Ширина полки  $2b$ , толщина  $\delta_b$ ; высота стенки  $2a$ , толщина  $2\delta_a$ .

Напряжения в полках ( $0 \leq y \leq b$ ) \*\*:

$$Y_y = \pm \frac{3px}{4a^2} (1 - \alpha_1) (b - y)^2,$$

$$X_x = \pm \frac{px}{4a^2} (1 - \alpha_1) [x^2 - 6y^2 + 6by(2 + \sigma) - b^2(4 + 3\sigma) + 4a^2\beta] + \\ + \frac{p}{2} (1 - \alpha_2) \sigma x,$$

$$X_y = \pm \frac{p(b-y)}{4a^2} (1 - \alpha_1) [3x^2 - 2y^2 + by(4 + 3\sigma) + 4a^2\beta] + \\ + \frac{p\sigma}{2} (1 - \alpha_2) (b - y) ***.$$

Напряжения в стенке ( $-a \leq y \leq a$ ):

$$Y_y = -\frac{pxy}{4a} \left[ 2 + (1 - \alpha_1) \left( 1 - \frac{y^2}{a^2} \right) \right] - \frac{px}{2},$$

\* Здесь требуется, чтобы  $\frac{\partial v}{\partial x} = 0$  на внутренних кромках полуполок в силу симметрии и чтобы  $\frac{\partial u}{\partial x}$  совпадало на линиях контакта стенок с полками.

\*\* Прямая  $y = 0$  ось полки.

\*\*\* Знаки соответственно для верхней и нижней полки.

$$X_x = \frac{pxy}{2a} \left[ (1 - \alpha_1) \left( \frac{x^2}{2a^2} - \frac{y^2}{a^2} + \frac{3}{5} \right) - 2\alpha_1 \beta \right] - \frac{p}{2} \alpha_2 \sigma x,$$

$$X_y = \frac{p}{2} \left\{ \frac{\alpha_1 x^2}{2a} + (1 - \alpha_1) \left[ \frac{3x^2}{4a} \left( 1 - \frac{y^2}{a^2} \right) - \frac{y^2}{2a} \left( \frac{3}{5} - \frac{y^2}{2a^2} \right) + \frac{a}{20} \right] + a\alpha_1 \beta \left( \frac{y^2}{a^2} - \frac{1}{3} \right) \right\} + \frac{p}{2} \alpha_2 \sigma y,$$

где:

$$\alpha_1 = \frac{3}{3 + \varepsilon}, \quad \alpha_2 = \frac{1}{1 + \varepsilon}, \quad \varepsilon = \frac{a\delta_a}{b\delta_b},$$

$$\beta = (1 - \alpha_1) \left[ \frac{b^2}{a^2} \left( 1 + \frac{3}{2} \sigma \right) - \frac{1}{5} \right] + \frac{\sigma}{2}.$$

Последовательным дифференцированием этого решения по  $x$  получим новые решения: изгиб стержня равномерно распределенной нагрузкой, изгиб сосредоточенной силой на конце и чистый изгиб стержня.

Поступило  
10 VII 1948

#### ЦИТИРОВАННАЯ ЛИТЕРАТУРА

- <sup>1</sup> С. Е. Бирман, ДАН, 62, № 2 (1948).